

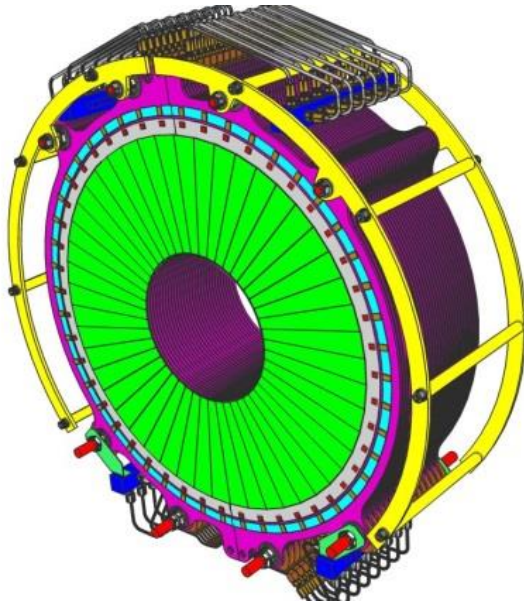
Kalorymetry dla małych kątów biegunowych dla przyszłego liniowego akceleratora ILC

Wojciech Wierba

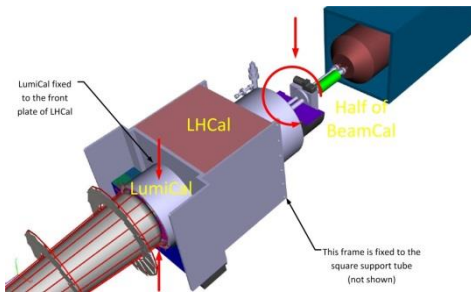
IFJ PAN



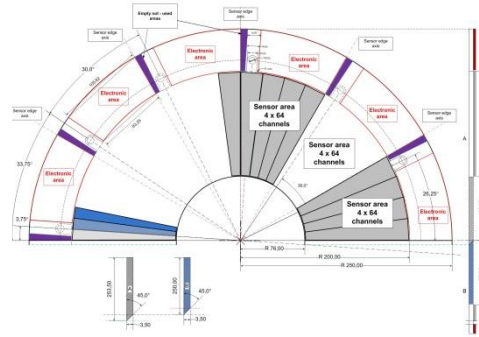
Struktura detektora LumiCal



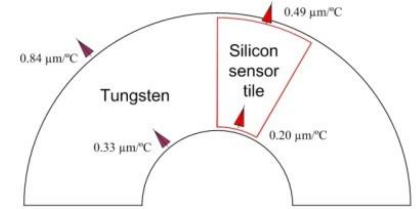
Model 3D



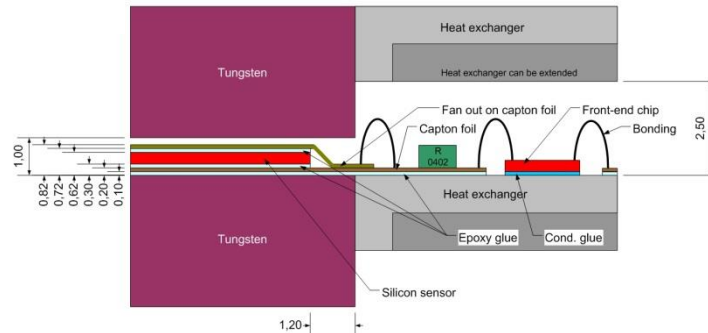
Półki detektora LumiCal montowane na przodzie LHCAL wewnątrz Ecal EndCap



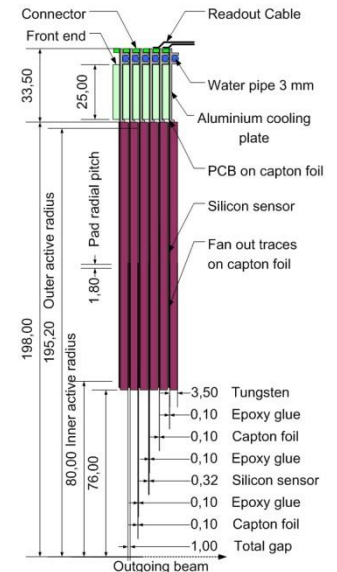
Rozmieszczenie sensorów i elektroniki odczytu na półpłaszczyźnie



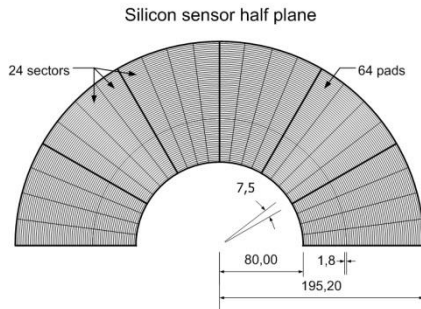
Termiczne zmiany geometrii detektora



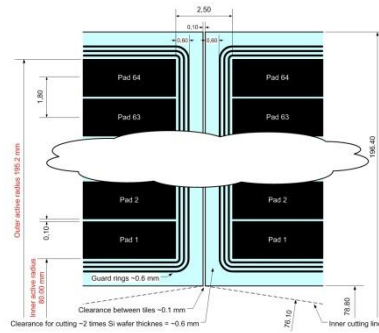
Przekrój półpłaszczyzn detektora



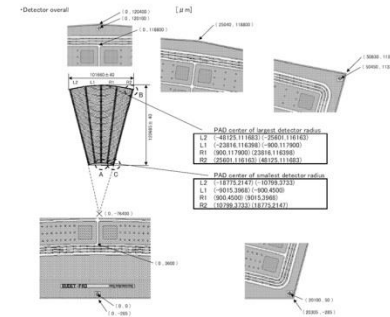
Detektory krzemowe LumiCal



Rozmieszczenie sensorów na półpłaszczyźnie LumiCal.



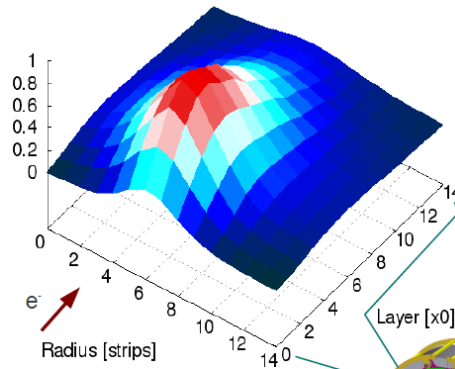
Nieaktywna przestrzeń na styku dwóch detektorów krzemowych.



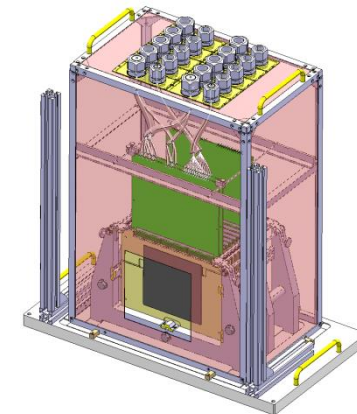
Szczegóły projektu detektora wykonanego przez firmę Hamamatsu.



Jeden sektor detektora krzemowego z prototypową elektroniką odczytu.

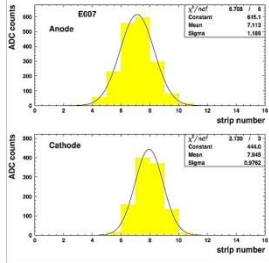
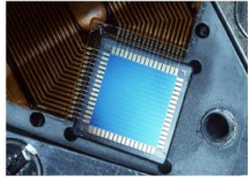


Przykładowa rekonstrukcja położenie kaskady na wiązce testowej.

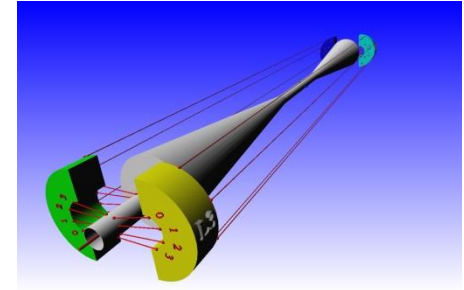
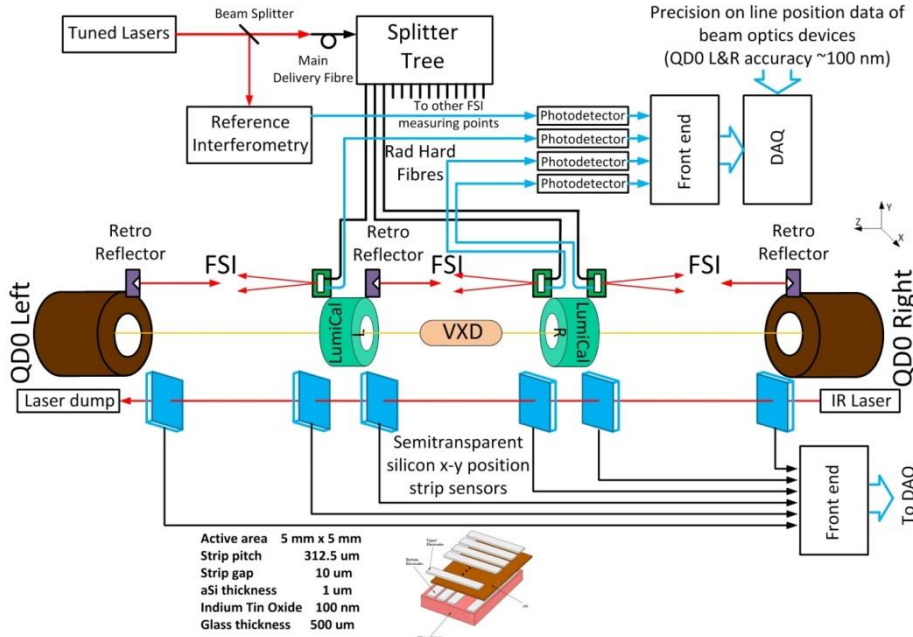


Struktura mechaniczna (projekt AIDA) umożliwiającą testowanie na wiązce wielu płaszczyzn detektora.

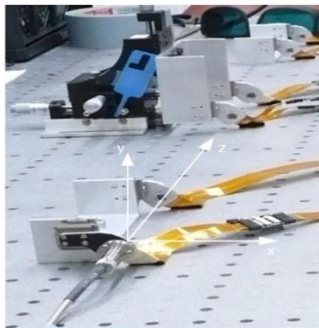
Precyzyjne pozycjonowanie LumiCal



Półprzewodnikowy detektor pozycyjny i przykładowe odczyty x-y.



Symulacja dokładności pomiaru pozycji dwóch LumiCal za pomocą programu SimulGeo.



Układ testowy i elektronika odczytu.

Przestrzalny laser 780 nm (+10 nm) oraz prototypowy układ testowy.